

## تأثیر یکبار تابش طیف B پرتو فرابنفش بر فعالیت ژن فاکتور رشد کراتینوسيت در موش کوچک آزمایشگاهی

سیمین انصاری.<sup>M.Sc.</sup>، بهرام گاظمی.<sup>Ph.D.</sup>، مژگان بندبیور.<sup>Ph.D.</sup>، محمد بیات.<sup>Ph.D.</sup>، یوسف صادقی.<sup>B.Sc.</sup>، فاطمه اسدات رضایی.<sup>Ph.D.</sup>

\* دانشگاه علوم پزشکی اراک

\*\* مرکز تحقیقات بیولوژی سلولی و ملکولی دانشگاه علوم پزشکی شهید بهشتی

\*\*\* گروه انگلشناسی و قارچشناسی دانشگاه علوم پزشکی شهید بهشتی

\*\*\*\* گروه علوم تشریح دانشگاه علوم پزشکی شهید بهشتی

\*\*\*\*\* کارشناس پژوهشی پژوهشکده رویان

تاریخ وصول: مهر ماه ۸۳، تاریخ پذیرش: آبان ماه ۸۳

### چکیده

هدف: پوست به طور مداوم در معرض عوامل مضر نظیر پرتو فرابنفش است که تحقیقات نشانگر آثار زیانبار آن روی پوست است. در تحقیق حاضر اثر یکبار تابش طیف B پرتو فرابنفش روی بیان فاکتور رشد کراتینوسيتی در موش کوچک آزمایشگاهی بررسی شد.

مواد و روشها: طیف B پرتو فرابنفش یک بار و با دوزهای  $30 \text{ mJ/cm}^2$  و  $50 \text{ mJ/cm}^2$  به پوست پشت گردن ۴۵ سر موش کوچک آزمایشگاهی نر بالغ نژاد Balb/C تابیده شد. بلاقصله، دو ساعت و شش ساعت بعد از تابش از پوست نمونه برداری به عمل آمد. با گروه شاهد نیز نظیر گروه تجربی برخورد شد و فقط پرتو دریافت نکردند. RNA نمونه‌ها استخراج شد و cDNA با روش RT-PCR (Reverse Transcription-Polymerase Chain Reactiu) ستز شد و سپس Nested PCR با پرایمرهای ژن فاکتور رشد کراتینوسيت انجام شد. محصول PCR روی ژل آگارز ۲ درصد الکتروفورز شد و نوار DNA با استفاده از دستگاه Transillaminator UV مشاهده شد. داده‌ها با روش آماری تست دقیق فیشر آزمون شدند.

یافته‌ها: ژن فاکتور رشد کراتینوسيت در همه نمونه‌های گروه شاهد تکثیر شد ولی در هیچ یک از نمونه‌های گروه واکنش PCR انجام نشد. یعنی بیان فاکتور رشد کراتینوسيت توسط نور UVB مهار شده است ( $p < 0.008$ ).

نتیجه گیری: به نظر می‌رسد یکبار تابش طیف B پرتو فرابنفش با دوزهای  $30 \text{ mJ/cm}^2$  و  $50 \text{ mJ/cm}^2$  مانع بیان ژن فاکتور رشد کراتینوسيت در موش کوچک آزمایشگاهی تا شش ساعت بعد از تابش می‌شود.

کلید واژه‌ها: فاکتور رشد کراتینوسيتی، نور UV، موش سوری، Nested PCR

### مقدمه

است که طیفهای A و B آن به زمین می‌رسد و طول موجی بین ۴۰۰-۲۹۰ نانومتر دارند. UVB از نظر بیولوژی فعال است [۱]. تابش UVB به اپیدرم پوست موجب نازک شدگی پوست، چین خوردگی، کراتوزیس و بد خیمی می‌شود [۲]. همچنین

پوست مرز اصلی بین بدن و محیط است و به طور مداوم در معرض بسیاری از عوامل مضر نظیر پرتو فرابنفش، نور مرئی، آلینده‌های هوایی و پراکسیدانت‌ها نظیر اوزن و امواج یونیزان قرار دارد [۱ و ۲]. پرتو فرابنفش (UV)<sup>1</sup> بخشی از نور خورشید

آذری مکاتبه: دانشگاه علوم پزشکی شهید بهشتی، مرکز تحقیقات بیولوژی سلولی و ملکولی، صندوق پستی: ۱۹۳۹۵-۴۷۱۹ Email:m-bayat@yahoo.com

1. Ultra violet

فیبروبلاستی بازی را در سرطان ملانوم پوست بررسی کردند و پیشنهاد نمودند که فقدان تعادل در تولید، به میزان فیزیولوژیک این فاکتور - به همراه تابش UV در ایجاد ملانوم نقش دارند [۹]. مارکس (Marchese) و همکاران اثر دوزهای فیزیولوژیک UVB و عامل پیش اکسیدانت cumene hydroperoxide را روی فعالیت گیرنده فاکتور رشد کراتینوسیت تجزیه و تحلیل کردند [۱۰].

هدف تحقیق حاضر بررسی اثر تابش UVB با دوزهای UVB  $30 \text{ mJ/cm}^2$  و  $50 \text{ mJ/cm}^2$  که در دامنه دوز فیزیولوژیک UV است روی فعالیت حیاتی فاکتور رشد کراتینوسیتی از طریق ردیابی mRNA آن در موش است. نتایج این تحقیق ممکن است اطلاعات دقیق‌تری از عملکرد پرتو UV روی یکی از فعالیتهای سلولهای پوست ارایه کند که با ملاحظه نقش مهم فاکتور رشد کراتینوسیت در پوست سالم و زخم با اهمیت و اساسی به نظر می‌رسد.

## مواد و اشیاء

۴۵ سر موش آزمایشگاهی کوچک نر بالغ سه ماهه از نژاد Balb/C با وزن ۳۰ الی ۴۰ گرم از انتستیتوپاستور ایران خریداری شد. موشها پیش از انجام آزمایشها درون قفسهای انفرادی تمیز و در یک حیوانخانه با سیکل نوری ۱۲ ساعت روشن و ۱۲ ساعت خاموش و درجه حرارت حدود ۲۲ درجه سانتیگراد نگهداری شدند و دسترسی آزادانه به آب و خوراک موش داشتند. برای انجام تحقیق، موشها با تزریق داخل عضلانی ۵۰ mg/kg کتابتین هیدروکلرايد و ۵mg/kg دیازپام بیهوش شدند و موی پشت گردن آنها تراشیده شد. سپس به موشها گروههای تجربی ۱ و ۲ (هر کدام ۱۵ سرم موش) یکبار طیف B پرتو فرابنفش با دوزهای  $30 \text{ mJ/cm}^2$  و  $50 \text{ mJ/cm}^2$  تابیده شد. دستگاه مولد نور ساخت کشور روسیه بود و طیف B فرابنفش را با شدت ۵۰ میلی ولت تولید می‌کرد و از فاصله ۲۴ سانتی‌متر از سطح پوست به مدت‌های ۶/۰ ثانیه و یک ثانیه به گروههای تجربی یک و دو تابیده شد و بلافاصله پس از تابش ۶ ساعت و ۶ ساعت بعد از تابش نمونه برداری انجام شد.

1. Autocrine

2. Paracrine

3. Keratinocyte growth factor

گزارش شده است که حتی یکبار تابش پرتو فرابنفش به پوست می‌تواند موجب بروز التهاب، آسیب به DNA و آپوپتوزیس شود [۴]. محققان تأثیر تابش UV را روی برخی پروتئین‌های مهم، کراتینوسیتها و پوست بررسی کرده‌اند.

کارتاسوا (Kartasova) و همکاران حساسیت کراتینوسیتها اپیدرم انسانی کشت داده شده در شرایط مختلف رشد را تجزیه و تحلیل کردند و با حساسیت فیبروبلاستهای مشتق شده از لایه درم همان پوست مقایسه کردند [۵]. رسن (Rosen) و همکاران تنظیم بیان ژن Ornithine decarboxylase را در پی تابش UVB به‌وسیله اندازه‌گیری سطح mRNA ارزیابی کردند [۶]. سیو (Seo) و همکاران آثار تابش یکبار UVB را روی S Glutathion transferase به‌وسیله اندازه‌گیری سطح mRNA و پروتئین بررسی کردند [۲]. ری (Rhie) و همکاران اثر تابش پرتو UV را روی کاتالاز که یک آنزیم آنتی‌اکسیدانت است به‌وسیله اندازه‌گیری سطح mRNA بررسی کردند [۱]. سلولهای حاضر در پوست، تعدادی فاکتورهای محلول تولید می‌کنند که اصولاً به عنوان فاکتور محرك تکثیر سلولی شناخته می‌شوند. اینها ممکن است به شیوه اتوکرینی<sup>۱</sup> یا پاراکرینی<sup>۲</sup> عمل کنند. از انواع این فاکتورها، فاکتورهای آنژیوژنیک هستند که توانایی تکثیر هماهنگ شده سلولهای اندوتیال و عروق میکرو برای تولید عروق جدید به‌دبیاب برخی تحрیکات را دارند. یکی از این فاکتورها، فاکتور رشد کراتینوسیت (KGF)<sup>۳</sup> است که قابلیت اتصال به هپارین را دارد و فاکتور رشد فیبروبلاستی شماره هفت هم نامیده می‌شود. این فاکتور در پوست اغلب به‌وسیله فیبروبلاستها تولید می‌شود و میتوزن بالقوه کراتینوسیتها محسوب می‌شود و مشخص شده است که بعد از ایجاد زخم و در بیماریهای هیپرپرولیفراتیو نظری پسوریازیس زیاد می‌شود. گیرنده فاکتور رشد کراتینوسیت که یک تیروزین کیناز غشائی‌گذر است اغلب به‌وسیله سلولهای اپی‌تیال بیان می‌شود [۷] و در محیط کشت معادل پوست موجب القای هیپرپرولیفراسیون و تأخیر در تمایز می‌شود [۸]. در مورد تأثیر پرتو فرابنفش روی فاکتورهای رشد در پوست تحقیقات اندکی انجام شده است.

برکلینگ (Berkling) و همکاران نقش UVB و فاکتور رشد

دنا توره شدن در دمای ۹۴ درجه به مدت ۳۰ ثانیه، مرحله اينيلينگ در درجه حرارت ۶۲° سانتي گراد به مدت ۳۰ ثانیه و مرحله اكستشن در درجه حرارت ۷۲° سانتي گراد به مدت ۳۰ ثانیه و در انتها برای کامل شدن رشته ها يك مرحله PCR اكستشن نهايی به مدت ۵ دقيقه صورت گرفت. محصول PCR برای انجام PCR دوم به عنوان الگو استفاده شد. شرایط مانند قبل بود فقط دمای اينيلينگ ۴۷° سانتي گراد در نظر گرفته شد.

برای اطمینان از تکثیر قطعه هدف محصول PCR روی ژل آگارس ۱/۵ درصد الکتروفورز شد. پس از رنگ آمیزی با اتیدیوم بروماید نوار DNA با دستگاه UV Transilluminator مشاهده و از آن عکس تهیه شد.

داده ها از نظر وجود یا فقدان تشکیل نوار DNA در جدول درج شد و داده های گروهها بوسیله تست دقيق فیشر (Fischer exact test) آزمون شد.

### یافته ها

همانطور که در شکل ۱ و جدول ۱ مشاهده می شود، نتایج نشانگر آن است که نوار DNA در ۱۵ نمونه گروه شاهد تشکیل شده ولی در هیچ یک از ۳۰ نمونه دو گروه تجربی یک و دو تشکیل نشده است. آزمون گروهها نشان داد اختلاف بین گروه های شاهد و تجربی در حد  $p=0.008$  است. بنابراین اختلاف نتایج گروه های شاهد و تجربی از نظر آماری معنی دار است.

جدول ۱. وضعیت میان ژن فاکتور رشد کراتینوسيت در گروه های شاهد و تجربی

		وضعیت بیان ژن		گروه شاهد	گروه تجربی	گروه تجربی دو
	صفر	۱۵	موارد بیان ژن (وجود نوار DNA)			
۱۵	۱۵	صفر	موارد عدم بیان ژن (تشکیل شدن نوار DNA)			

$p<0.008$

1. Diethyl pyrocarbonate  
2. Reverse Transcription

3. Polymerase chain reaction

موشهاي گروه شاهد (۱۵ سرموش) هم بيهوش شدند و موی پوست پشت آنها تراشide شد و بلا فاصله، دو ساعت و ۶ ساعت بعد از تراشide مو پوست آنها نمونه برداری شد. برای انجام نمونه برداری، ابتدا موشها با استنشاق كلروفورم در فضای بسته چهار بيهوشی عمیق شدند. پوست تحت تابش در گروه های تجربی و محل مشابه در گروه شاهد به وسیله الكل طبی تمیز شد و با تیغ جراحی و پنس از بقیه بدن جدا شد و درون پتی دیش محتوى محلول بافر فسفات با pH=۷/۴ قرار داده شد. تکه پوست به طور کامل از فاسیای سطحی و چربی تمیز شد و در لوله محتوى بافر فسفات قرار گرفت و درون یخچال نگهداری شد.

به منظور استخراج RNA، پوست به قطعات ریز بردیده شد و یک سی سی بافر RNX به یک قطعه  $0/5 \times 0/5$  سانتی متر پوست اضافه شد و لوله تکان داده شد. سپس به مدت ۱۵ دقیقه در دمای ۴° سانتي گراد و با ۱۲۰۰۰ دور در دقیقه سانتریفوژ شد. پس از آن فاز رویی به میکروتیوب دیگر منتقل و هم حجم آن الكل مطلق اضافه و مجدداً سانتریفوژ شده و مایع رویی آن خالی شد؛ به رسوب آن ۱۰۰ میکرولیتر الكل ۷۰ درجه اضافه شد و دو دقیقه سانتریفوژ شد. پس از صرف الكل و خشک شدن رسوب مقدار ۴۵ میکرولیتر DEPC treated water<sup>۱</sup> اضافه شد و ده دقیقه در دمای ۳۷° سانتي گراد قرار داده شد. برای تهیه cDNA، مقدار ۱۰ میکرون از RNA، همراه ۴ میکرولیتر بافر RT<sup>۲</sup> مدت ده دقیقه در دمای ۷۰° سانتي گراد نگهداری شد تا لوپهای احتمالی RNA باز شود. سپس به واکنش ۱ میکرولیتر آنزیم (MMLV) RT که معادل ۲۰۰ واحد آنزیم است و یک میکرولیتر RNase مهار برای مهار RNase احتمالی و یک میکرولیتر OligdT اضافه شد. سپس به مدت یک ساعت در دستگاه ترموسایکلر مارک اپندورف با درجه حرارت ۴۲° سانتي گراد گذاشته شد تا واکنش نسخه برداری معکوس (RT) انجام شود. بعد از اتمام واکنش و تولید cDNA، با استفاده از پرایمر ژن فاکتور رشد کراتینوسيت I، PCR<sup>۳</sup> طبق پروفایل حرارتی زیر برای تکثیر DNA انجام شد. مرحله دنا توره شدن اولیه در دمای ۹۴° سانتي گراد به مدت ۵ دقیقه انجام شد. سپس تعداد ۳۰ سیکل PCR با شرایط زیر انجام شد، مرحله

## بحث

Crowding و دراز شدگی سلولهای قاعده‌ای، صاف شدگی reteridges و الگوی شبیه ripple را در محل تلاقی لایه‌های شاخی و دانه‌دار ایجاد می‌کند. این فاکتور همچنین بیان اینتگرین  $\alpha 5\beta 1$  را القا می‌کند و بیان کراتین ۶ و ترانس گلوتامین را با تأخیر مواجه می‌کند [۲۴]. نتایج محققین دیگری نشان دادند که تابش UVB موجب القای سریع تشکیل گونه‌های اکسیژن واکنش ROS<sup>۱</sup> می‌شود [۱۰]. نویسنده‌گان تحقیق حاضر به دلیل اهمیت فاکتور رشد کراتینوستیت اثر دو دوز از UVB را که در دامنه دوزهای فیزیولوژیک UVB هستند [۱۰]. بر بدن موش زنده بررسی کردند. این دوزها در بررسی سیو (Seo) و همکاران که اثر UVB روی یکی از پروتئین‌ها بررسی شده بود به کار رفته است [۲]. نتایج تحقیق حاضر نشان داد که یکبار تابش UVB بر پوست موشهای کوچک آزمایشگاهی با دوزهای  $30 \text{ mJ/cm}^2$  و  $50 \text{ mJ/cm}^2$  موجب فقدان بیان mRNA مربوط می‌شود، در حالی که در نمونه‌های شاهد mRNA بیان شد و این نشان دهنده تأثیر منفی تابش UVB روی فاکتور رشد کراتینوستیت در درون بدن موجود زنده از زمان تابش تا ۶ ساعت بعد از تابش آن است.

مرور منابع در دسترس نمایانگر آن است که تحقیق مشابه دیگری در دسترس نیست تا نتایج تحقیق حاضر با آن مقایسه شود. اما محققین واکنش کراتینوستیتها به UVB را در محیط کشت و درون بدن موجود زنده از جنبه‌های دیگر بررسی کردند. لی (Li) و همکاران اعلام کردند که به دنبال تابش UV تغییرات بیان ژن را می‌توان تشخیص داد [۳۰]. گروه اول شامل فاکتورهای نسخه‌برداری، انتقال دهنده‌های پیام و پروتئین‌های اسکلت سلولی است.

گروه دوم شامل فاکتورهای رشد، سایتوکایتها و کموکایینها است و تغییراتی در فیزیولوژی کراتینوستیتها رخ می‌دهد. گروه سوم شامل اجزای پوشش شاخی (ornfied envelop) است. به نظر می‌رسد که نتیجه‌گیریهای کلی تحقیق فوق با نتایج تحقیق حاضر همخوانی دارد.

ابس (Abts) و همکاران نشان دادند که اثر تابش دوز پایینی  $100 \text{ J/m}^2$  نور UV روی پوست در ۲۴ ساعت اول وابسته

در تحقیق حاضر یک بار تابش طیف B پرتو فرابنفش با دوزهای  $30 \text{ mJ/cm}^2$  و  $50 \text{ mJ/cm}^2$  بلا فاصله پس از تابش الى شش ساعت بعد از آن مانع بیان ژن فاکتور رشد کراتینوستی در موش کوچک آزمایشگاه Balb/C شد.

در سالهای اخیر پرتو فرابنفش به دلیل نازک شدگی لایه اوزون [۱۱] و افزایش سرطانهای پوست [۱۲] اهمیت پیدا کرده است. طیف B پرتو فرابنفش مهمترین قسمت، پرتو فرابنفش است و عامل بسیاری از آثاری است که به پرتو فرابنفش نسبت می‌دهند [۱۲]. در این خصوص واکنشهای شناخته شده پرتو فرابنفش شامل فعل شدن سریع ژنهای با عملکردهای جبرانی، حفاظتی و آپوپوتیک و همچنین ارتباط استرس با دیگر سلولها از طریق مولکولهای پیام‌دهنده مترشحه است [۱۴].

سستو (Sestu) و همکاران آثار دوزهای مختلف UVB را در مدت زمانهای مختلف بررسی کرده و تصویر کلی از واکنش کراتینوستیتها را به UVB نشان دادند [۱۵]. آنها تعداد ۵۳۹ تنظیم‌کننده نسخه‌برداری را مشاهده کردند که براساس الگوی رفتاریشان به ۹ خوشه تقسیم شدند. تقسیم‌بندی این ژنهای به ۲۳ دسته عملکردی نشان داد که فرآیندهای بیولوژیک متعددی تحت تأثیر UVB قرار می‌گیرند. همچنین وجود تعداد زیادی از فرآیندهای UP-regulation مربوط به نسخه‌برداریهای مرتبط با واکنش استرس و التهابی را تأیید کردند و افزایش معنی‌دار مرتبط با بیان ژنهای درگیر در نسخه‌برداری قاعده‌ای، قیچی کردن (Splicing) و ترجمه را مشاهده کردند و تجزیه تسهیل شده به‌وسیله پروتئزوم (Proteasome) هم شامل موارد فوق است. آنها اعلام کردند که نتایج فوق پیچیدگی پروفایل نسخه‌برداری در واکنش به UVB را نشان می‌دهد که واکنشهای سلولی را توصیف می‌کند که متأثر از UVB هستند و قبل از شناخته بود و به عنوان زمینه‌ای برای متمایز کردن ژنهای تنظیم شده به‌وسیله UV به کار می‌روند [۱۵].

اهمیت فاکتور رشد کراتینوستی در مقدمه ذکر شد [۱۶-۱۸] و [۷-۹]. همچنین نتایج یک تحقیق دیگر نشان داده است که فاکتور رشد کراتینوستی تغییرات شدیدی را روی ارگانیزاسیون سه بعدی اپیدرم در محیط کشت شامل ضخیم شدگی آن،

1. Reactive oxygen species

از دلایل احتمالی تأثیر منفی احتمالی تابش UVB روی فاکتور رشد کراتینویتی، نسخه برداری نشدن ژن فوق است یا ممکن است ژن فوق نسخه برداری شده باشد ولی به دلیل تغییراتی که در آن رخ داده است؛ پرایمر نتوانسته است به آن متصل شود. به نظر می‌رسد تابش طیف B پرتو فرابنفش با دوزهای  $30\text{ mJ/cm}^2$  و  $50\text{ mJ/cm}^2$  بر پوست مشاهدی کوچک آزمایشگاهی نژاد Balb/C موجب فقدان بیان mRNA فاکتور رشد کراتینویتی شود و انجام پیگیریهای با مدت طولانی تر و بررسی اثر سایر مدلایتی طب فیزیکی تغییر لیزرهای کم توان و اولتراسوند درمانی که آثار ترمیمی تأیید شده روی ترمیم زخم در پوست دارند؛ روی بیان ژن فاکتور رشد کراتینویتی پیشنهاد می‌شود.

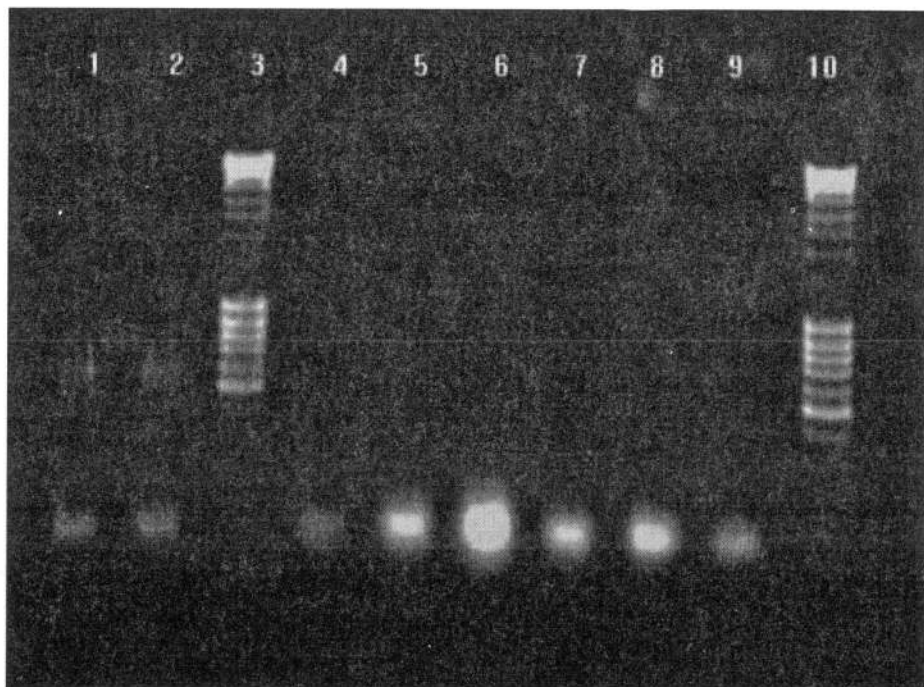
### تقدیر و تشکر

این مقاله نتایج طرح تحقیقاتی شماره ۱۱۰۸ معاونت محترم پژوهش دانشگاه علوم پزشکی شهید بهشتی است. نویسندهای مقاله مرتب تقدیر و تشکر خود را از مسؤولین مرکز تحقیقات بیولوژی سلولی و مولکولی دانشگاه متبع که محل اجرای طرح بود و از معاونت پژوهشی دانشگاه به دلیل تأمین بودجه طرح ابراز می‌دارند.

### References

- Rhie G, Seo JY, Chung JH.** Modulation of catalase in human skin in-vivo by acute and chronic UV radiation. Moleral Cell 2001; 11: 399-404.
- Seo KI, Cho KH, Park KC, Youn JI, Eun HC, Kim Kt, Pa KSC.** Change of glutathion S transferase in the skin by ultraviolet B irradiation. J Dermatol Sci 1996; 13: 153-60.
- Li D, Turi TG, Schuck A, Freedberg IM, Khitrov G, Blumenberg M.** Rays adn arrays, the transcriptional program in the response of human keratonocytes to UVB illumintion. FASEB J 2001; 15: 2533-5.
- Abts HF, Breahahn K, Michel G, Kohrer K, Esser P, Rusicka T.** Analysis of UVB modulated gene expression in human kerat inocytes by mRNA differential display polymerase chain reaction. Photochom Photobiol 1997; 66: 363-7.
- Kartasova T, Ponec M, Putte P.** Induction of proteins by زمان است و هم موجب القای بعضی از زخمها می‌شود و هم از این کار ممانعت به عمل می‌آورد. انجام چنین توالی ژن به نام HUR7 را مشخص نمودند که صرفا نور UVB موجب توقف بیان آن می‌شود.
- در تحقیق حاضر هم برای بررسی دقیق تر UV روی فاکتور رشد کراتینویتی، mRNA فاکتور KGF ارزیابی شد و نتایج هر دو تحقیق با یکدیگر همخوانی دارند. سیو (Seo) و همکاران کاهش معنی داری در فعالیتهای GST در محیط کشت و درون بدن موجود زنده، ۲۴ ساعت بعد از تابش UVB با شدت‌های  $30\text{ mJ/cm}^2$  و  $50\text{ mJ/cm}^2$  مشاهده کردند. تابش چند باره UVB باعث کاهش فعالیتهای GST در پوست شد، اما هیچ‌گونه تغییری در بیان mRNA یا مقدار پروتئین GST که با آزمایشهای نورتون بلات و وسترن بلات کراتینویتی‌های انسانی که به آنها UVB با دوز  $30\text{ mJ/cm}^2$  تابیده شده بود، مشاهده نکردند و از این رو محققان پیشنهاد کردند که نور UVB روی بیان mRNA و مقدار پروتئین GST پوست اثر مهاری ندارد. به هرحال در تحقیق سیو (Seo) و همکاران برخلاف سایر تحقیقات گزارش شده تابش UVB مانع بیان mRNA و مقدار پروتئین GST نشد و این نشان می‌دهد که اثر تابش UV روی همه ژنها یکسان نیست.
- and mRNAs after UV irradiation of human epidermal keratinocytes. Experimental Cell Res 1988; 174: 421-32.
- Rosen CF, Gajic D, Drucker DJ.** Ultraviolet radiation induction of ornithine decarboxylse in rat keratinocytos. Cancer Res 1990; 50: 2631-5.
- Burbach GJ, Ancel JC, Armstrong CA.** Cytokines in the skin in Freinkel RK, Woodley DT (Eds) The biology of the skin, the parthenon publishing group. New York 2001, pp 302-10, 212-7, 259.
- Jimenez PA, Rampy MA.** Keratinocyte growth factor-2 accelerate wound healing in incisional wounds. J Surg Res 1999; 81: 238-42.
- Bercking C, Takemoto R, Satyamoorthy K, Elenitsas R, Herlyn I.** Basic fibroblast growth factor and UVB transform melanocyte in human skin. Am J Pathol 2001; 158: 943-53.

10. Marchese C, Maresca V, Cardinali G, Belleudi F, Ceccarelli S, Bellocchi M, Farti L, Torrisi MR, Picardo M. UVB-induced activation and internalization of keratinocyte growth factor receptor. *Oncogene* 2003; 24: 2422-31.
11. Young AR. The biological effect of ozone depletion. *Br J Clin Pract (Suppl)* 1997; 89: 10-5.
12. Green A, Whiteman D, Frost C, Battistatta. Sun exposure, skin cancers and related skin conditions. *Epidemiol* 1999; 9 (6 suppl): S7-S13.
13. International Agency for Research on Cancer. Solar and ultraviolet Radiation (IARC monograph on evaluation carcinogenic risks to human. IARC Lyon, France Vol. 55.
14. Bender K, Blattner C, Knebel A, Bradanor M, Herrlich P, Rahmsdorff HJ. UV induced signal transduction. *J Photochem Photobiol B. Biology* 1997; 37: 1-17.
15. Sesto A, Navarro M, Burslem F, Jurceno JL. Analysis of ultraviolet B response in primary human keratinocyte using oligonucleotide microarrays. *Proc Natl Acad Sci USA* 2002; 95: 2965-70.
16. Guo L, Yu QC, Fuchs E. Targeting expression of keratinocyte growth factor to keratinocytes elicits striking changes in epithelial differentiation in transgenic mice. *EMBO* 1993; 12: 973-86.
17. Werner S, Peters KG, Longaker MT, Fuller-Pace F, Banda MJ. Large induction of keratinocyte growth factor expression in the dermis during wound healing. *Proc-Natl Acad Sci USA* 1982; 89: 6896-900.
18. Werner S, Smola H, Liao X, Longaker MT, Krieg T, Hofschneider PH, Williams LT. The function of KGF in morphogenesis of epithelium and reepithelialization of wounds. *Science* 1994; 266: 819-22.
19. Guo L, Degenstein L, Fuchs E. Keratinocyte growth factor is required for hair development but not for wound healing. *Gene Dev* 1996; 10: 165-75.
20. Andreadis ST, Hamoen KE, Yarmush ML, Morgan JR. Keratinocyte growth factor induces hyperproliferation and delays differentiation in a skin equivalent model system. *FASEB J* 2001; 15: 898-906.



▲ شکل ۱. الکتروفورز محصول PCR ژن فاکتور رشد کراتینوسیت در ژل آگارز ۱/۵ درصد

ستونهای ۱ و ۲: نمونهای شاهد؛ ستونهای ۳ و ۱۰: مارکر؛ ستونهای ۴-۹: نمونهای مربوط به گروههای تجربی. نمونه ۴: پلافالسله بعد از تابش در گروه تجربی یک، نمونه ۵: دو ساعت بعد از تابش در گروه تجربی یک، نمونه ۶: شش ساعت بعد از تابش در گروه تجربی یک، نمونه ۷: پلافالسله بعد از تابش در گروه تجربی دو، نمونه ۸: دو ساعت بعد از تابش در گروه تجربی دو و نمونه ۹: ۶ ساعت بعد از تابش اشعه در گروه تجربی دو

